

- 915023

开关电容电路及

MOSFET C

连续时间电路

—原理与应用

魏志源 编



高等教育出版社

开关电容电路及 MOSFET C连续时间电路 —原理与应用

魏志源编

高

高等教育出版社

内 容 提 要

本书作为高等学校电子线路课程的教学小丛书，将开关电容电路引入教学内容。首先讨论了开关电容电路工作原理和分析方法；接着重点讨论了开关电容电路的各种应用，例如，开关电容滤波器、微功耗仪用放大器、开关电容差分放大器、开关电容比较器、施密特触发器、正弦波振荡器、模拟乘法器、A/D 和 D/A 转换器、调制器、解调器和锁相环等；最后介绍了有发展前途的 MOS 场效应晶体管-电容连续时间电路。鉴于已有开关电容滤波器的专著出版，故本书侧重于非滤波器方面的应用。

开关电容电路及 MOSFET C连续时间电路 ——原理与应用

魏志源 编

*

·高等教育出版社出版
新华书店北京发行所发行

国防印刷厂印刷

*

开本 787×1092 1/32 印张 5.125 字数 115 000

1990 年 4 月第 1 版 1990 年 4 月第 1 次印刷

印数 0001—920

ISBN7-04-002223-0/TN·117

定价 1.10 元

编者的话

一、本书拟作高校工科“电子线路”课程补充读物，期望能对开关电容电路引入教学内容，提供参考。

二、开关电容电路广泛应用于有源滤波器领域。鉴于：

1. 开关电容滤波器已有专著出版；2. 对滤波器另设专门课程，已成通例。故本书侧重于非滤波应用。

三、第一章采用 Tsividis 提出的方法^[8]，尝试分析各种电路实例，旨在阐明此法简便易行。

四、第二章简述四种常用频域映射，以弥补第一章分析方法之不足。论述不详，力避与已出版的类似读物雷同。至于涉及开关电容滤波器之具体内容，仅介绍余书皆不录之波式滤波器。

五、第三章刻意求新，所引文献多取自近年外刊，鲜有早于 1981 年者。

六、全 MOS 连续时间滤波器崛起于 1983 年，已成为开关电容滤波器之潜在对手，特辟第四章，稍述其进展。

七、本书承清华大学董在望教授、尹达衡副教授悉心审阅，提出许多宝贵意见；并在编写中得到他们的热情支持和帮助。南京工学院谢嘉奎教授、沈永朝教授和北京航空学院张凤言副教授亦曾大力支持、鼓励。谨此一并表示衷心感谢。

编者于本课题涉猎甚浅，舛错难免。敬祈行家、读者不吝指正。

魏志源

1988年7月

6A102/09

目 录

第一章 开关电容电路原理与分析方法	1
§ 1-1 引言	1
§ 1-2 开关电容基本单元电路	3
1-2-1 开关电容模拟电阻	3
1-2-2 开关电容积分器	5
1-2-3 开关电容电路的基本部件	6
1-2-4 电压反相器开关组	10
§ 1-3 开关电容电路的分析方法	14
1-3-1 电荷守恒原理	15
1-3-2 一般时域分析	17
1-3-3 一般频域分析	24
1-3-4 小结	47
第二章 开关电容滤波器	49
§ 2-1 引言	49
§ 2-2 频域映射	49
2-2-1 后差映射	50
2-2-2 前差映射	52
2-2-3 双线性映射	52
2-2-4 无耗离散积分器映射	53
§ 2-3 电压波开关电容滤波器概述	55
§ 2-4 微波滤波器简述	56
§ 2-5 电压波采样数据滤波器	59
§ 2-6 转接器结构	62
§ 2-7 电压波 SCF 的发展概况	68
第三章 开关电容电路的应用	70
§ 3-1 引言	70

§ 3-2 微功耗仪用放大器	70
3-2-1 相关双采样仪用放大器(CDS-IA).....	71
3-2-2 微功耗、低电平、高性能仪用放大功能块.....	75
§ 3-3 正弦振荡器	78
3-3-1 双积分环开关电容振荡器.....	78
3-3-2 电容-频率转换器	80
§ 3-4 模拟乘法器	83
3-4-1 两象限乘法器	84
3-4-2 四象限乘法器	86
§ 3-5 A/D 和 D/A 转换器	88
3-5-1 高分辨率开关电容算法 D/A 转换器	88
3-5-2 A/D 转换器	96
3-5-3 小结	105
§ 3-6 组合式非线性模拟开关电容电路的基本单元	106
3-6-1 SC 差动放大器	107
3-6-2 SC 差动积分器	108
3-6-3 SC 比较器.....	110
§ 3-7 简式组合电路.....	112
3-7-1 施密特触发器	112
3-7-2 三角波、方波发生器.....	116
3-7-3 正弦波发生器	118
§ 3-8 锁相环(PLL)	119
3-8-1 简易 SC 锁相环	120
3-8-2 相位比较器	122
3-8-3 SC 低通滤波器.....	124
3-8-4 时相倒换器	126
3-8-5 压控振荡器(VCO)	128
3-8-6 组合式 SC 锁相环.....	129
§ 3-9 移频键控调制器与解调器	131
3-9-1 FSK 调制器	131
3-9-2 FSK 解调器	132

§ 3-10 结语	134
第四章 MOSFET C 连续时间电路.....	136
§ 4-1 开关电容电路优缺点纵览	136
§ 4-2 MOSFET C 连续时间全集成电路	137
4-2-1 沿革	137
4-2-2 MOSFET 压控电阻	138
4-2-3 非线性的抵消	141
§ 4-3 平衡结构的 MOSFET C 滤波器	142
4-3-1 工作原理	142
4-3-2 滤波器综合	144
4-3-3 在片自动调谐电路	147
§ 4-4 全 MOS 连续时间非线性电路	148
4-4-1 全MOS 整流器	148
4-4-2 四象限乘法器	150
4-4-3 实验结果	151
§ 4-5 结语	153

第一章 开关电容电路原理 与分析方法

§ 1-1 引 言

开关电容电路(SCN)付诸实用，始于70年代末期，近十年内发展迅猛，使得MOS半导体技术在电路微型化的竞争中，明显优于双极型(BJT)。其发展过程概述如下。

奠基于集成运算放大器的有源RC电路，结束了传统的 RLC 无源滤波器居统治地位近50年(1920~1965)的历史^[1]，一度风靡于世。其突出优点是用电阻、电容、和运放模拟各种频变元件，取消了在 RLC 滤波器中笨重而价昂的电感元件，同时却保留原型滤波器性能稳定(即敏感度很小)的优点。其致命弱点是不便于单片集成。关键在于难以在单片集成中实现稳定而精确的 RC 时间常数。以声频滤波器为例，设上限频率为4kHz， RC 时间常数约为 10^{-4} s量级。当氧化层厚700Å时，1pF电容占芯片面积约为 $2000(\mu\text{m})^2$ ，因而通常MOS电容最大不超过100pF。即使电容取较大值，如10pF，所需的电阻值仍达 $10^7\Omega$ 。这样大的电阻，无论用多晶硅或扩散掺杂来制作，所占芯片面积都接近 $10^6(\mu\text{m})^2$ ，约占一般单个模拟集成电路平均面积的 $1/10$ ^[2]。此外，MOS电阻还具有非线性。MOS电阻和MOS电容，误差均为5~10%，两者的误差互不相关，从而导致 RC 时间常数的误差可高达20%。此误差且随温度及信号电平而变化。

用开关电容构成模拟电阻，使上述难题迎刃而解。在下

一节中将推证，开关电容模拟电阻为

$$R = \frac{T}{C} = \frac{1}{Cf} \quad (1-1)$$

式中， C 为电容量， T 为采样时钟信号周期， f 为采样频率。在 SCN 中，时间常数为

$$RC_1 = \frac{C_1}{Cf} \quad (1-2)$$

其值取决于采样频率和电容比，前者可藉助晶体振荡器实现稳定，后者在单片集成中误差能控制在 1% 以内，两者相结合使 RC 时间常数的误差降到 0.1~0.5%。在同一芯片上十分靠近的两个电容器 C 和 C_1 ，受环境的影响大致相同，从而进一步提高了 SCN 时间常数的稳定性。

开关电容模拟电阻占用的芯片面积奇迹般地得到减小。按式 (1-1) 计算，同样的电阻值 $10^7\Omega$ ，当 $f=100\text{kHz}$ 时， $C=1\text{ pF}$ ，如前所述，与 MOS 电阻所占的芯片面积相比较， $\frac{10^6}{2000} = 500$ ，降到 $\frac{1}{500}$ 。

SCN 本质上为采样数据系统，其实现充分利用了 MOS 工艺的独特优点，即 MOS 管的自我绝缘性。在 MOS 电路中，节点上储存的电荷能保持若干毫秒，并被多次连续检测而不流失。前者有赖于 MOS 管处于截止区的高绝缘度，后者则有赖于 MOS 管工作于放大区的高输入阻抗。如此优异的模拟记忆功能是双极工艺所不能比拟的。

最后强调指出，正是由于采用了 MOS 工艺，它与数字电路兼容，才提供了将两种电路（数字与模拟）溶合于同一单片上制成 VLSI 的可能性，为 SCN 的进一步开拓展现出灿烂前景。

发轫于滤波器的 SCN 首先在这一领域内取得了广泛应

用。早在 1978 年美国便制成用于 PCM 电话系统的开关电容滤波器 (SCF)，如 Intel 公司的 2912 型双信道滤波器。各种程式 SCF 电路的研究吸引着人们的兴趣，发表于各专业学术刊物上的 SCF 论文琳琅满目。在大学教材中，已开辟独立篇章介绍 SCN^[1,3]。

现在，SCN 的应用已突破话音滤波器领域，扩展到模拟信号处理的各个方面，如振荡器、平衡调制器、D/A 与 A/D 变换器、自适应均衡器等。SCN 工作频率也正在向高端发展，例如，用来代替电视接收机中频声表面波滤波器的 SCF 正在研制中。

SCN 技术在国内也引起了广泛关注。从事这方面研究和制作的单位众多。仅作者所知，清华大学 1986 年初制成的 CF2932 NMOS DM 信适滤波器在许多方面已超过美国的 2912^[4]。南京工学院沈永朝教授开发的 SCNSOP 适合于微型计算机的专用程序^[5]，两年前已投入实用。仅此两项，就足以说明，我国在 SCN 的开发上正急起直追。

§ 1-2 开关电容基本单元电路

本节先介绍开关电容模拟电阻和积分器，使读者对开关电容电路有初步认识。接着简述构成上述单元电路的 MOS 基本部件：开关、电容和运算放大器。最后，论述 SCN 中独有的电压反相器开关组 (VIS)。

1-2-1 开关电容模拟电阻

常见的开关电容模拟电阻有接地(并联)和浮地(串联)两种类型，如图 1-1 所示。图中开关受两相不重叠时钟信号 ϕ 与 $\bar{\phi}$ 控制，其波形示于图 1-2。当 ϕ 处于高电平时(即时相 1)，

开关 S_1 闭合, S_2 开启; ϕ 处于低电位平 (时相 2), S_1 开启, S_2 闭合.

就图 1-1(a)而言，在时相 1 期间电容上储存的电荷为 Cv_1 ，至时相 2 期间储存的电荷为 Cv_2 ，每周期 (T) 内电荷增量为 $\Delta Q = C(v_1 - v_2)$ ，其等效电流 $I = \frac{C(v_1 - v_2)}{T}$ ，于是可求得并联开关电容模拟电阻

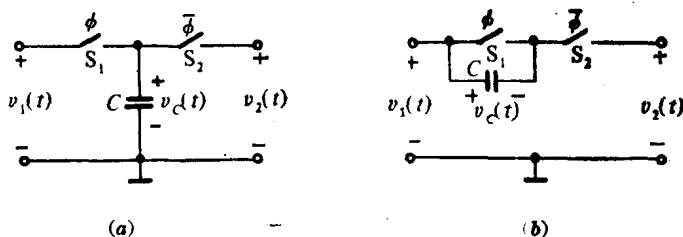


图 1-1 开关电容模拟电阻

(a) 接地(并联)型 (b) 浮地(串联)型

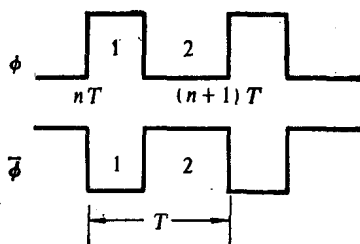


图 1-2 两相不重叠时钟

$$R = \frac{v_1 - v_2}{I} = \frac{T}{C} \quad (1-3)$$

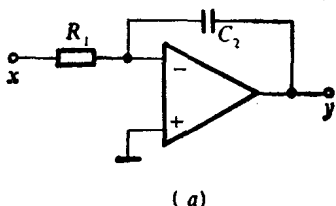
对于图 1-1(b) 电路, 用类似的推算也可导出式(1-3). 应指出, 式(1-3)是极粗略的.

开关电容模拟电阻还有其他类型, 不一一列举. 各种类型开关电容模拟电阻的共有特征是无记忆功能. 以图 1-1 为例, 设 v_1 和 v_2 为任意两个时变电压, 则图 1-1(a) 中, v_c 在时相 1 或 2 期间分别随 v_1 或 v_2 实时变化. 图 1-1(b) 中, 在时相 1 期间 $v_c = 0$, 在时相 2 期间 v_c 随 $v_1 - v_2$ 实时变化. v_c 与 v_1 、 v_2 只存在实时等量关系, 表明两电路均无记忆功能.

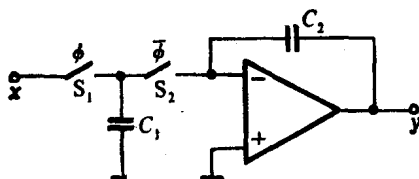
1-2-2 开关电容积分器

图 1-3(a) 为连续信号积分器. 将其中电阻 R_1 以图 1-1(a) 电路取代, 便得到图 1-3(b) 开关电容积分器. 图中 x 表示激励, y 表示响应. 不难求得, 图 1-3(a) 的传递函数为

$$H(s) = \frac{Y(s)}{X(s)} = -\frac{1}{sR_1C_2} \quad (1-4)$$



(a)



(b)

图 1-3 积分器

若图 1-3(b) 中开关也用两相不重叠时钟控制，则式(1-4)中的 R_1 可用式(1-3)代入。在考虑积分器频率响应时， $s = j\Omega$, $\Omega = 2\pi f_s$, f_s 为激励信号频率。于是式(1-4)可改写如下：

$$H(j\Omega) = -\frac{1}{j\Omega(T/C_1)C_2} = -\frac{C_1}{j\Omega T C_2} \quad (1-5)$$

比较式(1-4)和式(1-5)，不难看出，在开关电容积分器中，时间常数为

$$R_1 C_2 = \frac{C_2 T}{C_1} = \frac{C_2}{C_1 f} \quad (1-6)$$

其值取决于电容比(C_2/C_1)，及时钟周期 T (或 $1/f$)。

式(1-5)和式(1-6)同样是粗略的。在 § 1-3 中将对它进一步做精确推导。

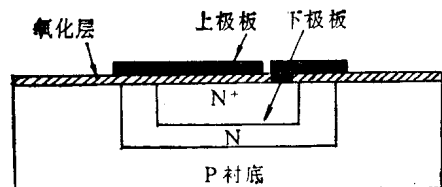
图 1-3 中，通常称(a)为(b)的原型；而(b)则是(a)的开关电容实现。如法炮制，不难从其它(如同相、差动)原型积分器导出其对应的开关电容实现。在此不赘。

1-2-3 开关电容电路的基本部件

从图 1-3(b)可看出，开关电容电路含三种基本部件：电容器、开关和运算放大器。如上文所述，它们均由 MOS 工艺制成。分述如下：

1. MOS 电容器

MOS 电容器剖面示意图如图 1-4(a)，图 1-4(b)为其等效电路。由图 1-4 可知，MOS 电容器为一平行板电容器，氧化层为绝缘介质，金属膜为上极板，重掺杂 N^+ 区为其下极板。下极板与 P 衬底之间的反向 PN 结，在图 1-4(b) 中用反向二极管 D 表示。



(a)

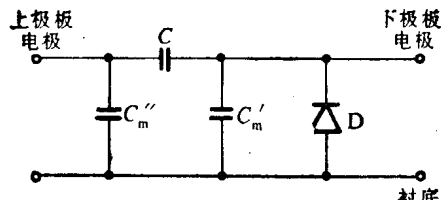


图 1-4 MOS 电容器

MOS 电容器电容量正比于氧化层的介电常数及极板有效面积，反比于氧化层厚度。其值一般为 $1\sim 40 \text{ pF}$ 。为提高其长期可靠性，有时也采用双氧化层结构。

MOS 电容器上、下极板对衬底均存在寄生电容，分别用 C''_m 和 C'_m 表示。其值约为

$$C'_m = (5\sim 20)\% C$$

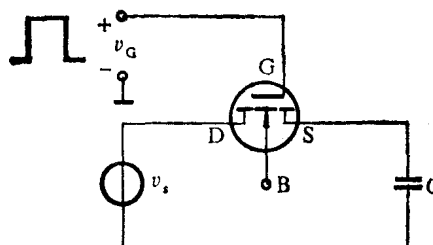
$$C''_m = (0.1\sim 1)\% C$$

一般 C''_m 的影响可忽略不计，但 C'_m 则常不能忽视。

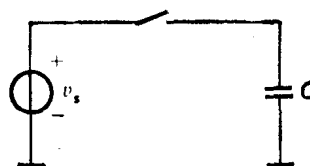
2. MOS 开关

增强型绝缘栅场效应管 (MOSFET)，由于结构上对称，源、漏两极可以互换，特别适合用作模拟开关。以下两点使 MOSFET 接近于理想开关：(1) 导通时源、漏两极间无漂移电压；(2) 控制端 (栅极) 与信号通道绝缘，即控制通道与信号通道之间无直流电流流通。

图 1-5(a)为 N 沟道增强型 MOSFET 用作开关的实际电路, 图 1-5(b)为其理想化等效电路。对于理想开关, 开启和闭合电阻分别为 ∞ 和 0。



(a)



(b)

图 1-5 MOS 开关

MOSFET 导通时漏源电阻 r_{ds} 不为零, 其值反比于沟道的宽长比 (W/L), 当 $W/L=1$ 时, 约为千欧级, 且随电压和温度而变。因此 MOS 开关不适合用在精确电阻分压器中。但对于开关电容电路, 当开关频率不过高时, r_{ds} 不致引起麻烦。设负载电容 C 为 100pF , r_{ds} 为 $1\text{k}\Omega$, 则电压上升到距终值 0.01% 所需时间为 $1\mu\text{s}$ 左右。

MOSFET 源、漏、栅、衬底之间均有寄生电容, 如图 1-6 所示。其中 C_{DB} 和 C_{SB} 的影响可通过提高衬底偏置使其减小, 但 C_{GS} 和 C_{GD} 却导致控制电压与信号通道的直通效应。

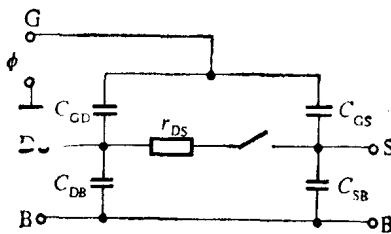


图 1-6

采用图 1-7 电荷抵消电路, 可以消除 C_{GD} 、 C_{GS} 的直通效应。图中 T_1 为开关管, 加时钟 ϕ 。 T_2 为“仿真”开关管, 加 ϕ 的反相信号 $\bar{\phi}$ 。由于 ϕ 与 $\bar{\phi}$ 正好反相, 使 T_1 与 T_2 引起的直通效应相互抵消。

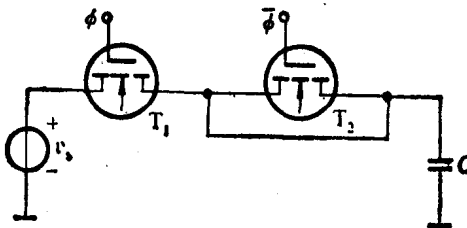


图 1-7

3. MOS 运算放大器

一般说来, MOS 运算放大器的性能稍逊于同类型 BJT 运放, 因此单个 MOS 运放商品罕见。但 MOS 运放却有以下两个突出优点: (1) 工艺上与数字电路兼容, 制作时可充分利用规范的大规模数字电路集成技术; (2) 所需芯片面积仅为同类型 BJT 运放的 $\frac{1}{3} \sim \frac{1}{5}$ 。MOS 运放通常在单片大规模集成系统中作为一个部件使用。在开关电容电路中, MOS 运放是不可缺少的基本部件。

囿于本书宗旨，对MOS运放不遑多论，这里仅列举常见的MOS运放各项指标，使读者对它的性能略知梗概。欲作进一步了解，可参阅参考文献[6]。

MOS运放性能指标举例：

开环电压增益 A : 1500; 输入失调电压 V_{os} : 20 mV;

单位增益带宽: 3.2 MHz; K_{CMR} : 60 dB;

摆率: 正摆, $+8V/\mu s$; 负摆, $-33V/\mu s$;

共模电压范围(当电源为 ± 10 V时): ± 7.5 V;

功耗: 22mW; 输入噪声均方根值: $51\mu V$;

所占芯片面积: $0.35mm^2$.

1-2-4 电压反相器开关组

电压反相器开关组 (Voltage Inverter Switches, 简称 VIS), 是开关电容电路中独特的功能组件, 其妙用在于: (1) 保证电路的无耗传输; (2) 消减MOS电容器寄生电容的影响。本节只论述其构成和工作原理, 其功能则留待 § 1-4 中结合实例阐明。

VIS一般由开关、电容和有源器件三者组合而成。主控开关分为两组, 分别受两相不重叠时钟 ϕ 和 $\bar{\phi}$ 控制。将 VIS 与任一纯电容网络的某端口相连接, 在 ϕ 启动前, 设该端口电压为 v_b (下标 b 为 before 缩写, 表示 VIS 启动前), 在 $\phi, \bar{\phi}$ 顺次启动后, 原端口电压变为 v_a (a 为 after 缩写, 指 VIS 启动后), 并且

$$v_a = -v_b.$$

有源器件采用 MOS运放的 VIS 示例于图 1-8. 其中图 1-8(a) 为一步反相型, 图 1-8(b) 为两步反相型。说明如下。